

預应力混凝土理論與實驗研究

(下冊)

[法國] Y. 居易翁著

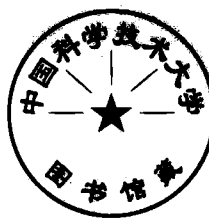
科 技 卫 生 出 版 社

預應力混凝土 理論与實驗研究

下 册

[法国] Y. 居易翁著

葛守善譯 周念先校



科 技 卫 生 出 版 社

内 容 提 要

本書根据法国 Y. 居易翁所著 預应力混凝土理論与实验研究 (BÉTON PRÉCONTRAINTE: ÉTUDE THÉORIQUE ET EXPÉRIMENTALE) 1953 年再版修正本譯出，共分上下兩册出版。

本書分章論述各种主要預应力混凝土結構物的共同問題和靜定梁的彈性計算問題，尤其对于許多特殊应力問題均作了深入的分析，同时在对裂缝与破损計算方面更用极限状态的理論加以核算。最后并詳尽地介绍了許多試驗的条件、过程、結果与分析，說明了某些結合实际的理論。

本書还附有三个附录，补充說明一些專門問題，其中附录 I 提供了專对锚头下集中应力分布的計算用图表，因与第六章有关，故特提前排在上册之末，以便讀者应用。

本書可供土建工程技术人员、大專师生、以及科学研究人員研究参考之用。

預应力混凝土理論与实验研究

(下 册)

BÉTON PRÉCONTRAINTE: ÉTUDE
THÉORIQUE ET EXPÉRIMENTALE

原著者 (法国) Y. Guyon

原出版者 Editions Eyrolles. 1953 年版

譯 者 葛 守 善

*

科 技 卫 生 出 版 社 出 版

(上海南京西路 2004 号)

上海市書刊出版业营业許可證號 098 号

中华書局印刷厂印刷 新华書店上海发行所總經售

*

統一書号: 15119·856

开本 787×1092 纸 1/18 · 印張 18 1/9 · 字數 360,000

1958年10月第1版

1958年10月第1次印刷 印数 1—2,500

定价: (10) 2.50 元

目 录

第十章 用均匀截面預应力鋼絲的等截面靜定梁的各种計算公式	349
I. 版和矩形梁	349
1. 随活荷載与极限应力变化的临界跨度	349
2. 在临界跨度以下的版的計算公式	350
3. 在临界跨度以上的版的計算公式	351
4. 計算受外荷时的应力的修正	353
II. 任何其他形狀的梁	356
5. 当梁高和它的截面模量 $\frac{I}{v}$ 和 $\frac{I}{v^2}$ 为已知数时对梁截面的确定	356
6. 梁高的选定	359
7. 腹版最小厚度的确定	359
8. 翼緣厚度的确定	360
9. 翼緣的寬度	365
10. 理論截面改为实用截面	368
11. 承受均匀荷載的对称工字梁随极限应力变化的临界跨度	368
12. 計算外荷产生的应力的修正項	370
第十一章 等截面先張法梁的計算	372
1. 后張法梁与先張法梁的区别	373
2. 梁截面中鋼絲的布置	376
3. 計算时把鋼絲考慮在內的梁的特征	380
4. 例 1. 先張法梁的計算	388
5. 考虑到鋼絲中預拉应力損失的不均匀性而对偏心进行的調整	387
6. 例 2. 确定截面已知的梁在承受規定弯矩 M 时所需要的鋼絲	390
7. 例 3. 确定在同一套模板中澆制的一系列小梁所需要的鋼絲。各种小梁的应用范围	392
第十二章 用不均匀弯起鋼絲束的等截面梁	402
1. 一般性問題	403
2. 建議的方法	404

3. 分頂應力 ν_0 和 ν'_0 的變化圖形	407
4. 鋼絲束連續彎起的總圖	409
5. 搭連的彎起鋼絲束	410
6. 鋼絲束彎起部分以外的其他部分的研究	412
7. 數例	416
8. 有大量彎起鋼絲束的梁	429
第十三章 單受彎和高度有變化的靜定梁	434
I. 弯矩計算和截面的確定	434
1. 高度有變化的梁的限心計算	435
2. 關於自重全部能自消的一根梁; 強度完全均勻的梁的計算	437
3. 均勻強度簡支梁的計算	442
4. 對用上述方法計算的梁所進行的試驗	449
5. 跨徑超過臨界數值的簡支梁和承受最大荷載時能夠達到均勻強度的各項 條件	454
6. 梁高度變化十分迅速時對應力計算的修正	462
7. 工字梁由於高度變化而引起的應力增加的近似估算	465
II. 抗剪強度	467
8. 由外荷造成的減余剪力	467
9. 由於預應力而產生的抗剪強度	469
10. 在截面中剪應力的分布	471
11. 在例 2 中的應用	472
12. 高度變化的梁內應當布置的最低限度的輔助鋼筋	477

第三篇 靜定梁的試驗安全性

第十四章 後張法靜定梁的試驗	481
(一) 7.75 公尺跨徑的拋物線梁試驗	481
(二) 對建造橋用的一根梁所進行的試驗	492
(三) 對都路士兽醫學校橋的一根梁所進行的試驗	497
第十五章 先張法梁的試驗	517
(一) 樓板小梁的破壞試驗	517
單根小梁的破壞試驗	517
1. 試驗小梁的概述	517
2. 抗彎試驗	518
3. 抗剪試驗	525

4. 試驗總結	528
(1) 擬曲性.....	528
(2) 抗裂安全性.....	529
(3) 抗弯极限强度安全性.....	530
(4) 抗剪极限强度安全性.....	530
(二) 正常生产的樓板小梁的驗收試驗	530
(三) 矩形梁的靜力和動力試驗	533
第十六章 矩形梁的裂縫試驗。縱向軟鋼筋的影響和預加力的 影響	542
1. 試驗梁的特徵	542
2. 梁的製造、預加力和初加應力狀態	543
3. 試驗方法、隨荷載變化的應力和各種修正計算	547
4. 补充試驗	549
5. 各種測量	550
6. 應變記錄圖	550
7. 各種應變曲線的大致形狀	562
8. 表面的裂縫應力的計算	565
9. 試行說明平均預應力對於表面的裂縫應力的影響	568
10. 抗裂強度增加的另一種解釋	573
11. 對矩形梁建議用的試驗公式	575
第十七章 預应力混凝土靜定梁的試驗結果總結	577
I. 变形	577
II. 裂縫	578
III. 受弯破坏試驗	587
1. 普通情况：含鋼量低的梁	590
2. 破損彎矩定律的应用範圍。混凝土強度的影響。中性軸在受壓翼緣中的 情況	592
3. 發生破壞時中性軸進入腹版內的情況	597
4. 實測破損彎矩大於根據第1節內公式計算的理論破損彎矩	598
5. 鋼絲的預拉應力對於破損彎矩的影響	599
6. 預先并無裂縫出現的破壞。脆性杆件	600
IV. 剪力試驗	601
第十八章 預应力混凝土靜定梁的安全性和彈塑性計算的說明	609
各種安全系数的研究及其對設計規範的影響	620

預應力混凝土理論與實驗研究

1. 在极限荷載作用下受压混凝土破損安全系数的驗算	620
2. 在預应力作用下受压混凝土破損安全系数的驗算	624
3. 在最大外荷作用下受压混凝土裂縫安全系数的驗算	625
4. 在預应力作用下的裂縫	632
5. 滿足破壞和裂縫要求的臨界截面	632
6. 在自重不能全部自消的情況中	635
7. 預应力鋼的選定	635
8. 矩形梁的計算实例	638
9. 工字梁的計算实例	641
附录II 預应力梁內剪切裂縫的方向	650
附录III 在变高度梁的某截面中的剪应力分布規律	662

第十章 用均匀截面預应力鋼絲的等截面 靜定梁的各种計算公式

一般的計算方法已在第九章內說明。下面再給出可供实际应用的一些公式。

I. 版和矩形梁

1. 隨活荷載与极限应力变化的临界跨度

以前說过，所謂临界跨度就是在这个跨度以下，自重影响完全可以自消。

設 s 为每平方公尺的活荷載， l 为跨度，則用第九章 12 节內所述之方法，即可得出下面的公式（假定所有的計算都是根据 $d' = \frac{h}{10}$ 进行的）：

$$l_{\text{臨界}} = \frac{0.337R + 0.815R'}{\sqrt{R - R'}} \sqrt{s}$$

式中 l 以公尺計， R 与 R' 以噸/平方公尺計， s 以噸/平方公尺計。

假定 $R = 120$ 公斤/平方公分，可以求出 $s = 1$ 噸/平方公尺时由以下各应力下限 R' 規定的临界跨度如下：

$R = 120$ 公斤/平方公分时的临界跨度数值

R' (公斤/平方公分)	$l_{\text{臨界}}$ (公尺)
-10	9.7
0	11.6
5	13.1
10	14.6
15	16.2
20	17.9
25	19.7

在任何活荷載 s 的作用下，應將上表內所給的临界跨度数值乘以 \sqrt{s} ， s 以噸/平方公尺計。

2. 在臨界跨度以下的版的計算公式

可供一块版承受活荷載用的抗弯力矩称为版的**有效抗弯力矩**，相应于全部荷載的抗弯力矩則称为**总抗弯力矩**。

根据第九章內所述，得出

$$\text{有效抗弯力矩: } \frac{bh^2}{6} (R - R') \quad (\text{全部为承受活荷載用});$$

$$\text{預加力: } F = bh \cdot \frac{R + R'}{2}.$$

假定 T 为鋼筋的永存应力，鋼筋百分率应为

$$\frac{\omega}{bh} = \frac{R + R'}{2T}.$$

在 $R = 120$ 公斤/平方公分， $R' = 0$ ，和 $T = 85$ 公斤/平方公厘的相当普通的情况下，可以得出下列: 弯矩以噸·公尺計，尺寸以公尺計的各个計算公式。

$$\text{有效抗弯力矩: } 200bh^2 \quad (\text{全部为承受活荷載用});$$

$$h = \frac{1}{14.14} \sqrt{\frac{M_s}{b}};$$

$$\frac{\omega}{bh} = 0.702\%.$$

記住这些公式是有用的，因为它們立刻可以求出尺寸大小和鋼筋数量的大致数值。
与鋼筋混凝土的比較

假定能使混凝土承受 120 公斤/平方公分，鋼筋承受 1800 公斤/平方公分的力。可以見到对于鋼筋混凝土來說这已經是非常有利的假定了。于是当 $m = 15$ ， $d' = \frac{h}{10}$ 时，大致得出

$$\text{总抗弯力矩: } 200bh^2.$$

因此我們可以用同一个公式来計算預应力混凝土的**有效抗弯力矩**和鋼筋混凝土的**总抗弯力矩**。

对于同样厚度的版來說，如果預应力混凝土版能承受活荷載 s ，鋼筋混凝土只能承受 $s-h$ 的荷載。

至于在鋼筋用量方面，则根据上述假定設計的鋼筋混凝土版所用的为：

$$\frac{\omega}{bh} = 1.5\%.$$

从上面看来应用預应力混凝土比用鋼筋混凝土要經濟得多。

數例 11公尺跨度的版承受 1 吨/平方公尺的活荷載。

假定材料的特性如上所述。

根据第1节内的表格，这是指跨度在临界数值以下的预应力混凝土板，因为当 $R=120$, $R'=0$ 和 $s=1$ 吨/平方公尺时，临界跨度为 11.6 公尺。

活荷载对 1 公尺宽的版产生的弯矩为

$$1 \times \frac{11^2}{8} = 15.1.$$

预应力混凝土: 版的厚度:

$$200h^2 = 15.1$$

$$h = \sqrt{0.0755} = 0.275 \text{ 公尺}$$

钢筋百分率: 0.702%，即每公尺宽度的版上的钢筋截面为 19.4 平方公分。

钢筋混凝土: 则应为

$$200h^2 = 15.1 + M_p$$

并且

$$M_p = 2.4h \frac{l_2}{8} = 2.4h \frac{11^2}{8} = 36.3h$$

即

$$200h^2 - 36.3h - 15.1 = 0$$

于是求出

$$h = 0.38 \text{ 公尺}$$

钢筋百分率为 1.5%，即每公尺宽度上有 57 平方公分。

因此采用预应力混凝土时可以用 1.38 除混凝土用量，并以 3 除钢筋用量。

在经济上，上述比较并不正如表面看来那样有利，因为预应力混凝土中用的钢筋比钢筋混凝土中用的贵；因此在钢的价值方面并未获益多少，不过在混凝土方面则颇能节省，并且又能使结构物所占的地位缩小很多。

3. 在临界跨度以上的版的计算方式

假定预加力的偏心可以达到最大值，即当 $d' = \frac{-h}{10}$ 时， $e = -0.4h$ 。

受荷时压力中心应当升到限心上界，也就是造成一个正的偏心：

$$\frac{h}{6} \frac{R - R'}{R + R'}$$

由于受荷时应力达到极限， F 仍等于 $bh \times \frac{R + R'}{2}$ 。

因此总抗弯力矩为

$$(0.4h + \frac{h}{6} \frac{R - R'}{R + R'})bh \frac{R + R'}{2}.$$

因为 $R=120$, $R'=0$, 并且用吨与公尺做单位，所以

$$\text{总抗弯力矩: } 340bh^2$$

這個數值應當等於 $M_p + M_s$ 。

鋼筋百分率仍和以前一樣：當永存應力為 85 公斤/平方公厘時，鋼筋百分率為 0.702%。

在跨度大於臨界跨度的情況中，就不能抵消全部自重，但是仍能抵消一大部分的自重，至少不會在 40~50% 以下。

假定 p' 為被抵消的自重， $p-p'$ 為未被抵消的自重，把 $p-p'$ 和活荷載加在一起，顯然將得出

$$200bh^2 = M_p - M_{p'} + M_s$$

由於另一方面

$$340bh^2 = M_p + M_s$$

因此

$$140bh^2 = M_{p'}.$$

如果 s 是均勻荷載，即得出

$$\frac{140bh^2}{200bh^2} = \frac{p'}{p-p'+s}$$

或者

$$p' = 0.7(p-p'+s),$$

$$p' = \frac{0.7}{1.7}(p+s) = 0.41(p+s)$$

或者

$$\frac{p'}{p} = 0.41\left(1 + \frac{s}{p}\right).$$

因此當 p 相對 s 加大時，自消部分 $\frac{p'}{p}$ 即減小，不過即使 p 变成非常大， $\frac{p'}{p}$ 也不能降到 0.41 以下。

由於只有當 $s=0$ 時才會達到這個限值，因此可以說：

實際上，如果極限應力為 120 公斤/平方公分² 與 0，則能被抵消的自重永遠不會在版的自重一半以下。

另一方面須提請注意的是：即使當跨度超過臨界數值時只有部分的自重能自消，但是相對於鋼筋混凝土而言的經濟性並不因此減小，而反加大。

為了証實這點，就採用 16 公尺的版作為算例來討論，該版承受和上面一樣的 1 吨/平方公尺的荷載。應力的假定也都照舊。在這樣的條件下已經超過了經濟跨度。

預應力混凝土：

$$340h^2 = M_p + M_s$$

$$M_p = 2.4h \frac{16^2}{8} = 77h, M_s = 1 \times \frac{16^2}{8} = 32 \text{ 吨·公尺}$$

由此得出

$$340h^2 - 77h - 32 = 0$$

于是

$$h = 0.44.$$

$$\text{钢筋截面: } \omega = \frac{0.702 \times 4400}{100} = 30.9 \text{ 平方公分/公尺。}$$

钢筋混凝土:

$$200h^2 = M_p + M_s$$

或者

$$200h^2 - 77h - 32 = 0$$

于是

$$h = 0.635.$$

$$\text{钢筋截面: } \omega = \frac{1.5 \times 6350}{100} = 95 \text{ 平方公分/公尺。}$$

因此采用预应力混凝土时，能用 1.44 除混凝土用量，并用 3.07 除钢筋用量。这里所节省的用料，以百分率计，还比在预应力混凝土自重全部自消的情况下稍多一些。

4. 计算受外荷时的应力的修正

在第九章内我们曾假定版是密实的和均匀的，并且曾确定它的截面模量为 $\frac{I}{v} = \frac{I}{v'} = \frac{bh^2}{6}$ 。

实际上预加应力时，版上有穿束的孔道，因此截面模量减小，乃致自重产生的应力比计算应力来得大；随后钢丝束经过注浆以后，由于它和混凝土粘结起来，好象钢筋混凝土一样，于是截面模量就加大，因而活荷载造成的应力即比计算应力小。因此应当考虑到方向相反的两项修正因素。显然可以见到它们的综合作用是很小的。关于这点下面将予以证明。

假定 G 为截面重心，E 为钢丝束的重心。从计算的观点来看，可以假定全部钢丝束都结合成一根。设 S' 为穿束孔道的截面，并使 $\frac{S'}{S} = \epsilon$ ， ϵ 值始终是小的。

假定 e 为偏心的绝对值。

在考虑穿束孔道的影响下，截面重心升至 G_1 ；即 $GG_1 = g$, $G_1E = e_1$ 。

因此

$$g = \frac{S'e}{S-S'} = e \frac{\epsilon}{1-\epsilon}; \quad e_1 = e+g = \frac{\epsilon}{1-\epsilon}.$$

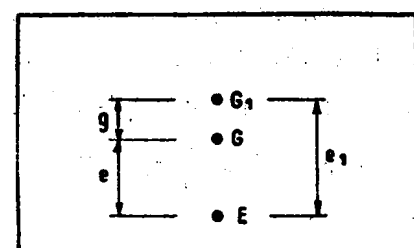


图 10-1

v 和 v' 即成為

$$v_1 = v - g \text{ 和 } v'_1 = v + g \left(v = \frac{h}{2} \right)。$$

慣性矩為

$$\begin{aligned} I_1 &= I + Sg^2 - S'e_1^2 = I + Se^2 \frac{\varepsilon^2}{(1-\varepsilon)^2} - S \frac{\varepsilon e^2}{(1-\varepsilon)^2} \\ &= I - Se^2 \frac{\varepsilon}{1-\varepsilon} = I \left(1 - \frac{e^2}{r^2} \frac{\varepsilon}{1-\varepsilon} \right)。 \end{aligned}$$

截面模量為

$$\frac{I_1}{v_1} = \frac{I \left(1 - \frac{e^2}{r^2} \frac{\varepsilon}{1-\varepsilon} \right)}{v - g}$$

即大致為

$$I_1 = \frac{I}{v} \left(1 - \frac{e^2}{r^2} \frac{\varepsilon}{1-\varepsilon} \right) \left(1 + \frac{g}{v} \right) = \frac{I}{v} \left(1 - \frac{e^2}{r^2} \frac{\varepsilon}{1-\varepsilon} + \frac{e}{v} \frac{\varepsilon}{1-\varepsilon} \right)$$

或者近似地可取

$$\frac{I_1}{v_1} = \frac{I}{v} \left[1 - \varepsilon \left(\frac{e^2}{r^2} - \frac{e}{v} \right) \right]$$

同樣地

$$\frac{I_1}{v'_1} = \frac{I}{v'} \left[1 - \varepsilon \left(\frac{e^2}{r^2} + \frac{e}{v} \right) \right]。$$

下面計算截面模量減小的大致數值。已知當 $R=120$, $R'=0$ 時的鋼筋百分率為 $\frac{0.7}{100}$ 。

對於用 12 根 5 公厘鋼絲組成的鋼絲束來說，穿束孔道的截面應為 10 平方公分，此時鋼絲束的截面為 235 平方公厘，亦即 2.35 平方公分。因此穿束孔道內中空部分所占的百分數為 $\frac{0.7}{100} \times \frac{10}{2.35}$ ，即 3% 左右。所以 $\varepsilon = 0.03$ 。

實際上 e 值自 $\frac{h}{6}$ 變至 $\left(\frac{h}{2} - \frac{h}{10} \right)$ ，也就是自 $0.166h$ 變至 $0.4h$, r^2 等於 $\frac{h^2}{12}$ 。

當 $e = \frac{h}{6}$ 時：

$$\frac{e^2}{r^2} = \frac{e}{v}, \text{ 因為 } e = \frac{r^2}{v}, \text{ 于是 } \frac{e}{v} = \frac{1}{3}。$$

當 $\varepsilon = 0.03$ 時：

$$\frac{I_1}{v_1} = \frac{I}{v}; \quad \frac{I_1}{v'_1} = 0.98 \frac{I}{v'}。$$

壓应力並沒有改變，拉应力增加了 2%。

当 $e=0.4h$ 时：

$$\frac{I_1}{v_1} = 0.967 \frac{I}{v}; \quad \frac{I_1}{v'_1} = 0.919 \frac{I}{v'}.$$

压应力增加了 3.3%，拉应力增加了 8.1%。

随后鋼絲束經過注漿。于是鋼絲束就和混凝土粘結住，因而截面模量加大。計算新截面时，以 m 倍大的截面来換算鋼絲束截面， m 系換算系数。假定 ϖ 为 $\frac{\omega}{S}$ 的百分比，则以 $m\varpi$ 代替上述公式中之 ε 值，可以求出新的截面模量，式中符号正好相反，因为現在得到的是加大而不是减小。

因此大致求出

$$\frac{I_1}{v_1} = \frac{I}{v} \left[1 + m\varpi \left(\frac{e^2}{r^2} - \frac{e}{v} \right) \right];$$

$$\frac{I_1}{v'_1} = \frac{I}{v'} \left[1 + m\varpi \left(\frac{e^2}{r^2} + \frac{e}{v} \right) \right].$$

在瞬时活荷載作用下 $m=5$; $\varpi=0.007$; $m\varpi=0.035$ 。

当 $e=\frac{h}{6}$ 时：

$$\frac{I_1}{v_1} = \frac{I}{v}; \quad \frac{I_1}{v'_1} = 1.023 \frac{I}{v'}$$

压应力沒有变化，拉应力減小了 2.3%

当 $e=0.4h$ 时：

$$\frac{I_1}{v_1} = 1.038 \frac{I}{v}; \quad \frac{I_1}{v'_1} = 1.094 \frac{I}{v'}$$

压应力減小了 3.8%，拉应力加大了 9.4%。

我們把在 $e=0.4h$ 的情况中的各項修正因素綜合起来 ($e=\frac{h}{6}$ 的情形很少有，因为这相應于很小的自重)。在这样的情况中，自重大致和活荷載相接近，一般总高出一些。

如果 $\phi=s$ ，由于外荷所产生的压应力就減小 $3.8-3.3=0.5\%$ ，拉应力則減小 $9.4-8.1=1.3\%$ 。

应力的減小可以作为附加的安全性看待。如果想把它考慮在內，只要把上述情况中的預加力減小 4% 就行了。

如果所受的不是瞬时外荷而是永存外荷，則差別可能更大。对于这样的情况，只要在上面的公式內采用适当的 m 值，即用 13 而不用 5。

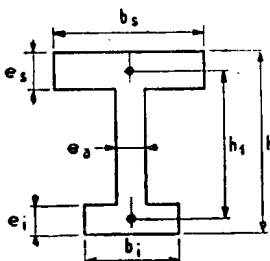
事实上不必顧慮这些修正，因为我們知道它們的影响很小，并且在任何情况下都是有利的。

II. 任何其他形狀的梁

5. 當梁高和它的截面模量 $\frac{I}{v}$ 和 $\frac{I}{v'}$ 为已知数时对梁截面的确定

這個問題在第九章內已經提到過，並且經常发生在預應力混凝土中。這個問題可以用試算的方法來解決，不過最好還是能定出一種方法來尽量減少試算的次數。

首先假定梁的簡單輪廓如圖 10-2 所示。一般說來腹版的厚度 e_s 是可以預先規定的，因此只剩下上下翼緣的寬度與厚度 b_s, e_s, b_i, e_i 這四個未知數了。由於只有兩個條件需要滿足，這個問題的解決方案就不止一個，不過在一系列的方案中我們必須選擇最好的。



在一般情況中，大致都能知道翼緣該有多厚或者它們的寬度不应当超過什麼數值。因此我們就可以通過不多幾次的試算來確定寬度或者厚度。

最簡單的辦法就是以上翼緣和下翼緣的截面 s_s 與 s_i 為未知數。如果實際上大致知道厚度 e_s 和 e_i 的數值，也就能大致不錯地知道兩翼重心之間的距離 h_1 。於是只剩下兩個未知數。

已知 $\frac{I}{v}$ 和 $\frac{I}{v'}$ ，並且由於 $v + v' = h$ ，由此得出 I 和 v' 。因此可以求出 s_s 和 s_i 。因為 e_s 和 e_i 為已知數，於是得出 b_s 和 b_i 。根據試算的是否成功，再決定應否選擇新數值 e_s 和 e_i 。並且還應當注意到：試算次數之所以能減小是由於當兩個截面有了同樣的 h_1 值和同樣的 e_s 與 s_s 值時，它們的截面特徵也就大致相同。因此對於已經求出的截面 s_s 和 s_i 的寬度 (b_s 和 b_i) 與厚度 (e_s 和 e_i) 可以隨意地略予重行分配，只要總值 b 和 e 不變就行了。而總高 h 則可相對原定數值稍予變更，因為 s_s 和 s_i 為已知數。

然後應當定出截面，並且保證在構造的觀點上能够符合要求，它既不太笨重，又不太纖瘦。如果犯了上述一種錯誤，這往往是因为對上下翼緣的近似厚度估計不足所致。

數例 再用第九章內的例 4 來計算。數例中求 68 公分高的一个截面，已知 $I = 752000, v' = 37.6$ 公分。

估計上下翼緣的厚度均為 12 公分時， $h_1 = 68 - 12 = 56$ 公分，截面重心在下翼緣重心以上 $37.6 - 6 = 31.6$ 公分處，也就是上翼緣重心以下 $56 - 31.6 = 24.4$ 公分

处。腹板的重心则在总截面重心以下 3.6 公分处。腹板的厚度定为 10 公分，因此其截面为 440 平方公分，其惯性矩则为

$$10 \times \frac{44^3}{12} = 7070 \text{ 公分}^4.$$

截面 s_s 和 s_i 可以用下面两个公式来计算：

$$31.6s_i + 3.6 \times 440 = 24.4s_s$$

$$s_i \frac{12^2}{12} + 7070 + s_s \frac{12^2}{12} + s_i \times 31.6^2 + 440 \times 3.6^2 + s_s \times 24.4^2 = 752000$$

由此得出

$$s_i = 340 \text{ 平方公分} \quad \text{即 } 28.5 \times 12$$

$$s_s = 528 \text{ 平方公分} \quad \text{即 } 44 \times 12$$

这个截面是符合要求的。

验证截面是否符合要求的一个好方法为计算效率指标，关于这点已经在第九章内提过。这个效率指标等于一个比数，即： $\rho = \frac{\text{核心}}{\text{高度}}$ ，或者还可以说 $\rho = \frac{r^2}{vv'}$ 。

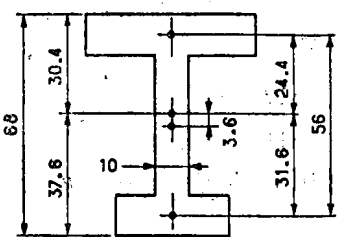


图 10-3

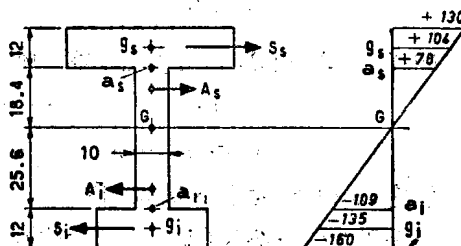


图 10-4

于是

$$S = 341 + 440 + 528 = 1309 \text{ 平方公分},$$

$$\frac{r^2}{vv'} = \frac{I}{vS} = \frac{752000}{37.6 \times 1309} = 15.3 \text{ 公分},$$

$$\frac{r^2}{vv'} = \frac{15.3}{30.4} = 0.5 \text{ 左右}.$$

这个比数是可以接受的。当它降到 0.45 以下时，截面就过于笨重；当它在 0.55 以上时截面就往往过于纤瘦。

另一种计算方法

如果能知道上下缘纤维的应力变化，就可以采用半图解法，下面的数例中将予以说明。

上述数例（第九章例 4）中的梁在 32 吨·公尺的弯矩变化下发生的应力变化在